

# БЛИЖНИЙ ПОРЯДОК В АМОРФНОМ И КРИСТАЛЛИЧЕСКОМ СЕГНЕТОЭЛЕКТРИЧЕСКОМ $\text{Hf}_{0.5}\text{Zr}_{0.5}\text{O}_2$

*C. Б. Эренбург<sup>a,b\*</sup>, С. В. Трубина<sup>a\*\*</sup>, К. О. Квашнина<sup>c,d</sup>, В. Н. Кручинин<sup>e</sup>,  
В. В. Грищенко<sup>e,f,g</sup>, А. Г. Черникова<sup>h</sup>, А. М. Маркеев<sup>h</sup>*

<sup>a</sup> Институт неорганической химии им. А. В. Николаева Сибирского отделения Российской академии наук  
630090, Новосибирск, Россия

<sup>b</sup> Институт ядерной физики Сибирского отделения Российской академии наук  
630090, Новосибирск, Россия

<sup>c</sup> ESRF, 38043, Grenoble, France

<sup>d</sup> HZDR, Institute of Resource Ecology, 01314, Dresden, Germany

<sup>e</sup> Институт физики полупроводников им. А. В. Ржанова  
630090, Новосибирск, Россия

<sup>f</sup> Новосибирский государственный университет  
630090, Новосибирск, Россия

<sup>g</sup> Новосибирский государственный технический университет  
630073, Новосибирск, Россия

<sup>h</sup> Московский физико-технический институт  
141700, Долгопрудный, Московская обл., Россия

Поступила в редакцию 14 февраля 2018 г.

Методами рентгеновской спектроскопии и эллипсометрии исследована микроструктура аморфных и поликристаллических сегнетоэлектрических пленок  $\text{Hf}_{0.5}\text{Zr}_{0.5}\text{O}_2$ . Из анализа рентгеновских спектров поглощения установлено, что аморфная пленка представляет собой «не полностью перемешанный» твердый раствор металлических оксидов  $\text{HfO}_2$  и  $\text{ZrO}_2$ . Установлено также, что после быстрого термического отжига образцы смешанных оксидов  $\text{Hf}_{0.5}\text{Zr}_{0.5}\text{O}_2$  имеют более упорядоченную поликристаллическую структуру. При этом в пленках образуются отдельные островки фаз монооксидов  $\text{Hf}$  и  $\text{Zr}$ , соприкасающиеся на границах раздела и имеющие размеры порядка нескольких нанометров со структурой, аналогичной моноклинной структуре  $\text{HfO}_2$  и  $\text{ZrO}_2$ . На основе результатов, полученных методом эллипсометрии, для образцов  $\text{Hf}_{0.5}\text{Zr}_{0.5}\text{O}_2$  также обнаружено присутствие фаз  $\text{HfO}_2$  и  $\text{ZrO}_2$ .

**DOI:** 10.7868/S0044451018060135

## 1. ВВЕДЕНИЕ

В 2011 г. для оксида гафния, который на протяжении более чем ста лет считался паразелектрическим материалом, был впервые обнаружен сегнетоэлектрический эффект [1, 2]. Эффект наблюдался в тонких пленках толщиной порядка 10 нм при условии их легирования различными элементами, в том

числе Si, Al, Y, Gd, La и т. д., и последующего высокотемпературного отжига (при температуре порядка 1000 °C). Особый интерес представляет тот факт, что сегнетоэлектрический эффект также был обнаружен в поликристаллических тонких пленках твердого раствора  $\text{Hf}_{0.5}\text{Zr}_{0.5}\text{O}_2$  в отсутствие высокотемпературного отжига [3–7]. Появление сегнетоэлектричества в перечисленных материалах связывают с возможностью стабилизации в них неравновесной орторомбической фазы  $Pbc\bar{2}1$  [3]. Важно отметить, что материалы на основе оксида гафния имеют ряд преимуществ по сравнению с традиционными сегнетоэлектриками в части совместимости с традицион-

\* E-mail: simon@niic.nsc.ru

\*\* E-mail: svt@niic.nsc.ru

но применяемыми процессами современной микронауки и уже продемонстрировали свои возможности в обеспечении очень высокой плотности элементов. С учетом таких известных достоинств сегнетоэлектрической памяти (ferroelectric random access memory, FeRAM), как энергонезависимость, быстродействие, достаточно большое число циклов переключений (более  $10^{10}$ ), открытие сегнетоэлектричества в данных материалах придает новый импульс концепции универсальной памяти, что, возможно, приведет к существенному прорыву в разработках кремниевых приборов [8].

В кубической и тетрагональной фазах  $\text{HfO}_2$  и  $\text{ZrO}_2$  (No. 225, пространственная группа  $Fm\bar{3}m$ , и No. 137, пространственная группа  $P4_2/nmc$ ) [9] атомы гафния и циркония координированы восемью атомами кислорода, т. е. состоят из структурных единиц  $\text{HfO}_8$  и  $\text{ZrO}_8$ . Атомы кислорода координированы четырьмя атомами гафния и циркония. В моноклинной и орторомбической фазах  $\text{HfO}_2$  и  $\text{ZrO}_2$  (No. 14, пространственная группа  $P2_1/c$ , и No. 61, пространственная группа  $Pbca$ ) [9] атомы гафния и циркония координированы семью атомами кислорода, состоят из структурных единиц  $\text{HfO}_7$  и  $\text{ZrO}_7$  [10]. Половина атомов кислорода в этих фазах координирована четырьмя атомами Hf и Zr, вторая половина атомов кислорода — тремя атомами Hf и Zr.

Строение (двойного или бинарного) соединения  $\text{Hf}_{0.5}\text{Zr}_{0.5}\text{O}_2$  в общем случае может описываться моделью случайной смеси (random mixture, RM) либо случайной связи (random bonding, RB) [11, 12]. В RM-модели орторомбический  $\text{Hf}_{0.5}\text{Zr}_{0.5}\text{O}_2$  представляет собой смесь двух фаз,  $\text{HfO}_2$  и  $\text{ZrO}_2$ , состоящих из структурных единиц  $\text{HfO}_7$  и  $\text{ZrO}_7$ . В RB-модели  $\text{Hf}_{0.5}\text{Zr}_{0.5}\text{O}_2$  состоит из структурных единиц  $\text{HfO}_v\text{Zr}_{7-v}$ ,  $v = 0, 1, 2, 3, 4, 5, 6, 7$ , в которых атомы циркония статистически замещают атомы кислорода в структурной единице  $\text{HfO}_7$ . Целью настоящей работы является изучение строения аморфного и поликристаллического ферроэлектрического  $\text{Hf}_{0.5}\text{Zr}_{0.5}\text{O}_2$  методами EXAFS-спектроскопии (extended X-ray absorption fine structure) и эллипсометрии с привлечением теории эффективной среды и попытка сделать выбор между моделями строения RM и RB.

## 2. СИНТЕЗ СТРУКТУР

Синтезированные и исследованные образцы представляли собой структуры полупроводник-диэлектрик  $\text{Si}/\text{Hf}_{0.5}\text{Zr}_{0.5}\text{O}_2$ . Пленки  $\text{Hf}_{0.5}\text{Zr}_{0.5}\text{O}_2$

толщиной 10 нм выращивались методом атомно-слоевого осаждения (atomic layer deposition, ALD) при температуре 240 °C с использованием прекурсоров  $\text{Hf}[\text{N}(\text{CH}_3)(\text{C}_2\text{H}_5)]_4$  (ТЕМАН),  $\text{Zr}[\text{N}(\text{CH}_3)(\text{C}_2\text{H}_5)]_4$  (ТЕМАЗ) и окислителя  $\text{H}_2\text{O}$ . Прекурсоры ТЕМАН и ТЕМАЗ предварительно были смешаны в единую смесь. Пленки  $\text{Hf}_{0.5}\text{Zr}_{0.5}\text{O}_2$  осаждались на кремний *n*-типа с ориентацией (100). Толщина и стехиометрия осаждаемых пленок  $\text{Hf}_{0.5}\text{Zr}_{0.5}\text{O}_2$  контролировались методами лазерной эллипсометрии и спектроскопии резерфордовского обратного рассеяния. Часть образцов была отожжена в атмосфере  $\text{N}_2$  при 400 °C в течение 30 с (быстрый термический отжиг, rapid thermal annealing, RTA). Рентгенодифрактометрическое исследование (X-ray diffraction, XRD) осажденных пленок без отжига и после RTA проводилось на порошковом дифрактометре ARL<sup>TM</sup> X'TRA (Thermo Scientific<sup>TM</sup>,  $\text{CuK}_\alpha$ -излучение, схема Брегга–Брентано). Непосредственно после синтеза пленки  $\text{Hf}_{0.5}\text{Zr}_{0.5}\text{O}_2$  аморфны, после RTA становятся поликристаллическими.

XRD-анализ пленки  $\text{Hf}_{0.5}\text{Zr}_{0.5}\text{O}_2$ , выращенной по аналогичной методике и прошедшей RTA, показал наличие ряда интенсивных рефлексов, свидетельствующих о формировании поликристаллической структуры, включающей моноклинную, тетрагональную и орторомбическую фазы ( $Pbc2_1$ ) [13]. При этом отметим, что орторомбическая фаза ответственна за появление сегнетоэлектричества в  $\text{Hf}_{0.5}\text{Zr}_{0.5}\text{O}_2$  [3].

## 3. ЭКСПЕРИМЕНТАЛЬНЫЕ МЕТОДЫ

### 3.1. Методика измерений XAFS-спектров

Измерения спектров поглощения (XAFS-спектры — X-ray absorption fine structure) аморфных и поликристаллических пленок  $\text{Hf}_{0.5}\text{Zr}_{0.5}\text{O}_2$  проведены на станции BM20, ESRF, Гренобль, Франция. Пластинки с сегнетоэлектрическими пленками приклеивались на столик и помещались под пучок монохроматического синхротронного излучения под углом около 1°. Спектры измерены

1) в области края поглощения  $\text{Zr}K$  в диапазоне энергий 17753–18748 эВ, что соответствует интервалу по волновому числу  $k$  до  $14 \text{ \AA}^{-1}$  (энергия рентгеновского края поглощения  $\text{Zr}K$  составляет 17998 эВ);

2) в области края поглощения  $\text{Hf}L_1$  в диапазоне энергий 11026–12021 эВ, что соответствует интерва-

лу по  $k$  до  $14 \text{ \AA}$  (энергия рентгеновского края поглощения линии  $\text{Hf}L_1$  равна  $11271 \text{ эВ}$ ).

Спектры измерялись в режиме флуоресценции с использованием 12-канального Ge-детектора. В качестве кристалла-монохроматора использовался Si(111). Для фокусировки пучка в горизонтальной и вертикальной плоскостях использовались два зеркала с Rh-покрытием. Поток квантов при съемке спектров составлял примерно  $3 \cdot 10^{11} \text{ ф/с}$  в пучке размером  $200 \text{ мкм} \times 5 \text{ мм}$ . На каждом образце измерялось по три скана, а затем выбирался «лучший».

### 3.2. Методика обработки и моделирования EXAFS-спектров

Следует отметить, что отношение сигнал/шум для спектров исследованных образцов весьма невелико, при этом после  $10 \text{ \AA}^{-1}$  достоверные модуляции EXAFS-спектров практически отсутствуют во всех спектрах (даже для стехиометрических оксидов), что свидетельствует о структурной неупорядоченности пленок (предположительно это аморфность, многофазность, нестехиометричность, наличие вакансий в структуре). С учетом этого при моделировании в некоторых случаях использовались экспериментальные EXAFS-функции  $\chi(k)$  с весовым множителем  $k$  в первой степени, т. е.  $k\chi(k)$ .

Моделирование EXAFS-спектров  $\text{Hf}_{0.5}\text{Zr}_{0.5}\text{O}_2$  выполнялось в программе EXCURVE [14] в диапазоне волновых чисел  $k = 3.0\text{--}11.0 \text{ \AA}^{-1}$ . Моделирование осуществлялось как для фильтрованных в  $R$ -пространстве ( $\Delta R = 1\text{--}4 \text{ \AA}$  для спектров  $\text{Hf}L_2$  и  $\Delta R = 0.8\text{--}4.1 \text{ \AA}$  для спектров  $\text{Zr}K$ ), так и для нефильтрованных (исходных) EXAFS-спектров. Фактор амплитудного подавления  $S_0^2$ , который учитывает многоэлектронные процессы при фотоионизации, принимался равным 0.7 при моделировании спектров  $\text{Zr}K$  (параметр получен при моделировании реперного оксида  $\text{ZrO}_2$ ) и 0.9 при моделировании спектров  $\text{Hf}L_1$  (параметр получен при моделировании реперного оксида  $\text{HfO}_2$ ). Факторы Дебая–Валлера рассчитывались отдельно для координационных сфер кислорода и металла (Hf, Zr).

Для EXAFS-спектров  $\text{Zr}K$  в случае бинарных оксидов удалось провести моделирование спектра только для поликристаллического образца. Определение параметров локальной структуры проводилось в  $k$ -пространстве ( $\Delta k = 3\text{--}10 \text{ \AA}^{-1}$ ) для нефильтрованного (исходного) спектра. В данном конкретном случае подгонка нефильтрованного спектра дает меньше ошибок при моделировании, чем фильт-

рованного в  $R$ -пространстве (возможно, из-за более широких выбросов (отклонений) в спектре, которые при фурье-преобразовании могут дать ложные максимумы).

### 3.3. Методика эллипсометрических измерений

Оптические характеристики (зависимости показателя преломления  $n(\lambda)$ , коэффициента поглощения  $k(\lambda)$ ) и толщина пленок  $\text{ZrO}_2$ ,  $\text{HfO}_2$  и  $\text{Hf}_{0.5}\text{Zr}_{0.5}\text{O}_2$  определялись с помощью эллипсометра «Спектроскан». Измерения зависимостей эллипсометрических углов  $\Psi$  и  $\Delta$  проводились в диапазоне длин волн  $250\text{--}1000 \text{ нм}$ . Спектральное разрешение прибора составляло 2 нм, время записи одного спектра не превышало 20 с, угол падения луча света на образец составлял  $70^\circ$ . Использовалась четырехзонная методика измерений с последующим усреднением по всем четырем зонам.

### 3.4. Методика обработки и моделирование спектроэллипсометрических измерений

Решение обратной задачи эллипсометрии и «подгонка» спектральных зависимостей эллипсометрических углов  $\Psi(\lambda)$  и  $\Delta(\lambda)$  осуществлялись в соответствии с основным уравнением эллипсометрии:

$$\operatorname{tg} \Psi \cdot e^{i\Delta} = \frac{R_p}{R_s}, \quad (1)$$

где  $R_p$  и  $R_s$  — комплексные коэффициенты отражения света для волн, поляризованных в плоскости падения и перпендикулярно к ней, зависят от оптических постоянных и толщин слоев. Для расчета дисперсионных зависимостей показателя преломления  $n(\lambda)$  и коэффициента поглощения  $k(\lambda)$  пленки и ее толщины  $d$  использовалась оптическая модель однослойной отражающей системы: изотропная подложка – изотропная однородная пленка – среда. Подгонка спектральных зависимостей поляризационных углов  $\Psi$  и  $\Delta$  во всем спектральном диапазоне осуществлялась независимо для каждой из  $m$  точек спектра при помощи минимизации функции ошибки

$$\sigma^2 = \frac{1}{2m - n - 1} \times \times \sum_{i=1}^m [|\Delta_{exp}^i - \Delta_{calc}^i| + |\Psi_{exp}^i - \Psi_{calc}^i|], \quad (2)$$

где  $\Psi_{exp}$ ,  $\Delta_{exp}$  и  $\Psi_{calc}$ ,  $\Delta_{calc}$  — экспериментальные и расчетные значения эллипсометрических параметров,  $m$  — количество точек в спектре,  $n$  — число искомых параметров при расчете модели.

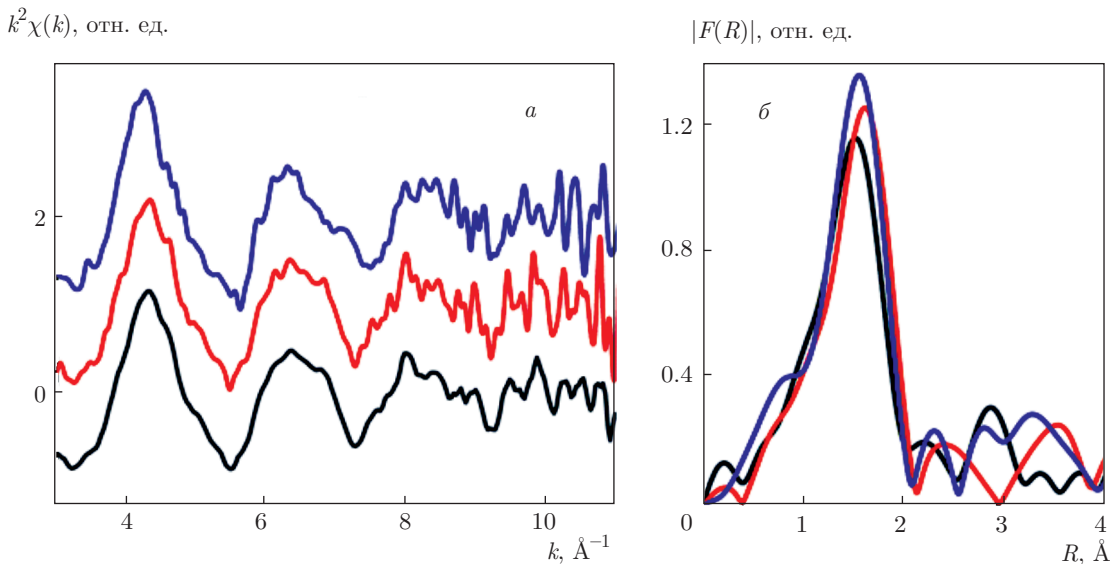


Рис. 1. (В цвете онлайн) Экспериментальные EXAFS-спектры  $\text{HfL}_1$  (а) и модули их фурье-преобразования (б) для пленок  $\text{HfO}_2$  (черная линия), аморфный  $\text{Hf}_{0.5}\text{Zr}_{0.5}\text{O}_2$  (красная линия), поликристаллический  $\text{Hf}_{0.5}\text{Zr}_{0.5}\text{O}_2$  (синяя линия)

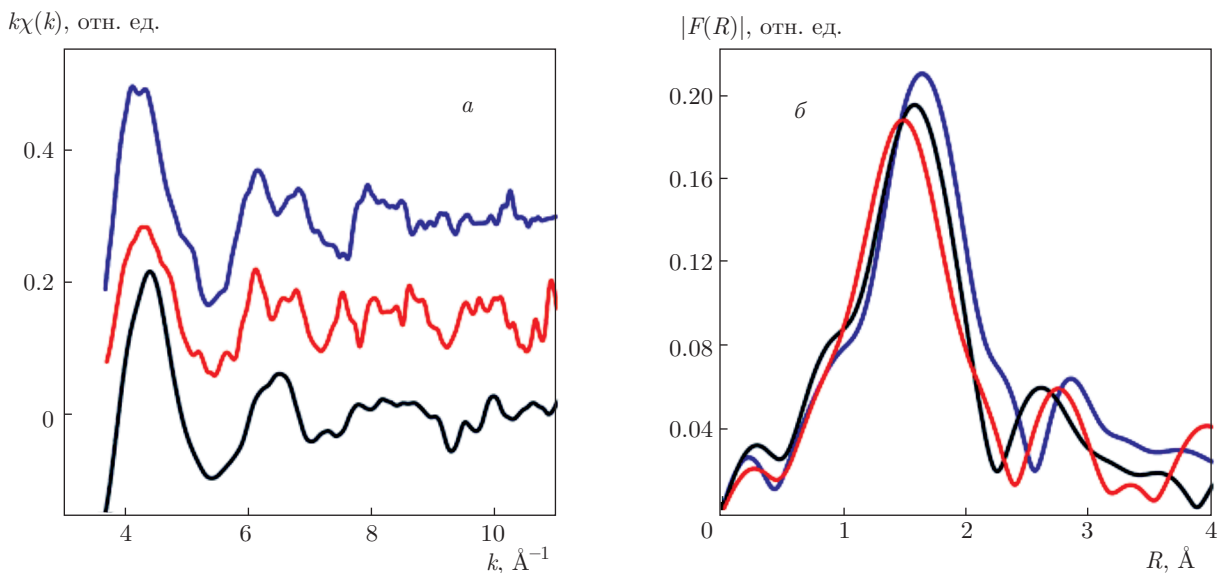


Рис. 2. (В цвете онлайн) Экспериментальные EXAFS-спектры  $\text{ZrK}$  (а) и модули их фурье-преобразования (б) для пленок  $\text{ZrO}_2$  (черная линия), аморфный  $\text{Hf}_{0.5}\text{Zr}_{0.5}\text{O}_2$  (красная линия), поликристаллический  $\text{Hf}_{0.5}\text{Zr}_{0.5}\text{O}_2$  (синяя линия)

Дисперсионная зависимость показателя преломления  $n(\lambda)$  для прозрачных в исследуемом оптическом диапазоне пленок  $\text{HfO}_2$ ,  $\text{ZrO}_2$ ,  $\text{Hf}_{0.5}\text{Zr}_{0.5}\text{O}_2$  описывается полиномиальной зависимостью Коши [15]:

$$n(\lambda) = a + \frac{b}{\lambda^2} + \frac{c}{\lambda^4}, \quad (3)$$

где  $a$ ,  $b$ ,  $c$  — коэффициенты.

Для расчетов дисперсионных зависимостей показателя преломления  $n(E)$  и коэффициента поглощения  $k(E)$  для пленок сложных двойных (бинарных) оксидов использовалась модель эффективной среды Бруггемана [15–17]:

$$\sum_i \left( q_i \frac{\varepsilon_i - \varepsilon_{eff}}{\varepsilon_i + 2\varepsilon_{eff}} \right) = 0, \quad (4)$$

**Таблица 1.** Параметры локальной атомной структуры Hf и Zr в пленках:  $N$  — координационное число,  $R$  — межатомное расстояние,  $2\sigma^2$  — фактор Дебая–Валлера (Fit — подгоночный фактор, характеризующий качество моделирования,  $S_0^2$  — фактор амплитудного подавления). Фиксированные параметры выделены жирным шрифтом

Образец	Поглощающий атом – рассеивающий атом	$N$	$R, \text{ \AA}$	$2\sigma^2, \text{ \AA}^2$
$\text{HfO}_2$	Hf–O	<b>7</b>	$2.13 \pm 0.01$	$0.014 \pm 0.001$
	Hf–Hf	<b>7</b>	$3.39 \pm 0.03$	$0.019 \pm 0.01$
	Hf–O	<b>5</b>	$3.50 \pm 0.05$	0.014
	Hf–Hf	<b>4</b>	$4.06 \pm 0.04$	0.019
	Hf–O	<b>11</b>	$4.23 \pm 0.04$	0.014
	$\text{Fit} = 3.4, S_0^2 = 0.9 \pm 0.1$			
$\text{ZrO}_2$	Zr–O	<b>7</b>	$2.17 \pm 0.01$	$0.012 \pm 0.003$
	Zr–Zr	<b>7</b>	$3.34 \pm 0.03$	$0.019 \pm 0.005$
	Zr–O	<b>5</b>	$3.61 \pm 0.05$	0.012
	Zr–Zr	<b>4</b>	$3.99 \pm 0.04$	0.019
	Zr–O	<b>11</b>	$4.38 \pm 0.04$	0.012
	$\text{Fit} = 5.1, S_0^2 = 0.7 \pm 0.2$			

где  $\varepsilon_i$  и  $\varepsilon_{eff}$  — комплексные величины диэлектрической проницаемости ( $\varepsilon = N^2 = (n - ik)^2$ ) соответственно для  $i$ -й компоненты смеси и эффективной среды,  $q_i$  — доля  $i$ -й компоненты.

## 4. РЕЗУЛЬТАТЫ И ОБСУЖДЕНИЕ

### 4.1. EXAFS- и XANES-спектры

Экспериментальные EXAFS-спектры  $\text{Hf}L_1$  и  $\text{Zr}K$  приведены соответственно на рис. 1 и 2.

#### 4.1.1. Результаты моделирования стехиометрических оксидов $\text{HfO}_2$ и $\text{ZrO}_2$

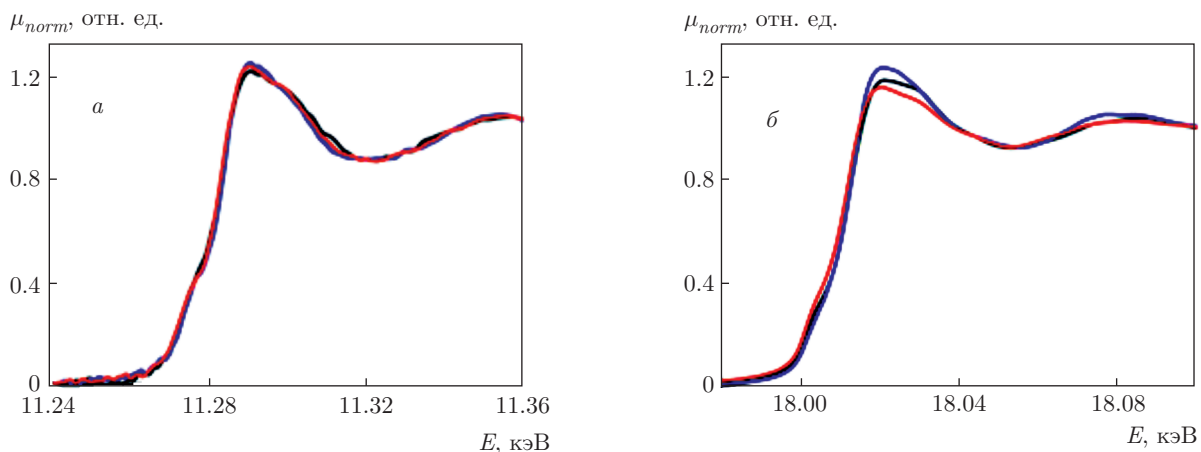
При моделировании стехиометрических оксидов  $\text{HfO}_2$  и  $\text{ZrO}_2$  средние координационные числа в сферах кислорода, гафния и циркония были фиксированы в соответствии с кристаллографическими данными для моноклинной структуры [18], причем атомы в сферах окружения были разбиты на группы с близкими межатомными расстояниями. Средние межатомные расстояния были затем заложены в процедуру моделирования. Подобное разбиение на группы представляется полезным при использовании полученных данных для стартовых моделей при моделировании образцов более сложного состава.

Результаты моделирования реферных оксидов  $\text{HfO}_2$  и  $\text{ZrO}_2$  приведены в табл. 1.

#### 4.1.2. Результаты моделирования EXAFS-спектров $\text{Hf}L_1$ и $\text{Zr}K$ для пленок аморфного и поликристаллического $\text{Hf}_{0.5}\text{Zr}_{0.5}\text{O}_2$

Как видно из спектров XANES (X-ray absorption near edge structure), представленных на рис. 3, энергетическое положение и форма краев поглощения  $\text{Hf}L_1$  и  $\text{Zr}K$  в  $\text{Hf}_{0.5}\text{Zr}_{0.5}\text{O}_2$  практически неотличимы от краев поглощения оксидов гафния ( $\text{HfO}_2$ ) и циркония ( $\text{ZrO}_2$ ). Поэтому в качестве исходных моделей для расчета спектров биметаллических оксидов использовались моноклинные структуры оксидов гафния и циркония как наиболее вероятные при данных температурах синтеза и отжига. Как известно из литературы [19] и структурных баз данных [20],  $\text{HfO}_2$  и  $\text{ZrO}_2$  являются полными аналогами по структуре. В  $\text{Hf}_{0.5}\text{Zr}_{0.5}\text{O}_2$  атомы циркония и гафния могут замещать друг друга, соответственно межатомные расстояния относительно одного атома металла до двух других атомов металлов могут быть одинаковыми [20] (No. 2106614).

Исходя из структуры моноклинного  $\text{HfO}_2$  [18, 20] (No. 9013470), атомы металла в дальних сферах можно поделить на две группы с близкими межатомными расстояниями: первая группа — 7 ато-



**Рис. 3.** (В цвете онлайн) Экспериментальные XANES-спектры  $\text{HfL}_1$  (*а*) и  $\text{ZrK}$  (*б*) для следующих пленок: аморфный  $\text{Hf}_{0.5}\text{Zr}_{0.5}\text{O}_2$  (красная линия), поликристаллический  $\text{Hf}_{0.5}\text{Zr}_{0.5}\text{O}_2$  (синяя линия), а также для реперных оксидов  $\text{HfO}_2$  и  $\text{ZrO}_2$  (черные линии),  $\mu_{norm}$  — нормированный коэффициент поглощения рентгеновского излучения

мов металла со средним расстоянием  $3.4 \text{ \AA}$ , вторая группа — 4 атома металла со средним расстоянием  $3.9 \text{ \AA}$ . При этом суммарные координационные числа  $N$  для этих сфер фиксировали равными 7 и 4 ( $N_1(\text{Hf})+N_1(\text{Zr})=7$  и  $N_2(\text{Hf})+N_2(\text{Zr})=4$ ), так как на одинаковом расстоянии могут находиться и атомы Hf, и атомы Zr. В соответствии со структурными данными [18] в расчет были введены три сферы кислорода с расстояниями  $2.1$ ,  $3.8$ ,  $4.2 \text{ \AA}$ . Для второй и третьей сфер кислорода координационные числа были фиксированы ( $N_2(\text{O})=5$  и  $N_3(\text{O})=11$ ). Координационное число для первой кислородной сферы рассчитывали при моделировании. Исходно расстояния Hf–Hf и Hf–Zr были уравнены, а затем «отпущены» в расчете.

Модельная структура для подгонки спектра  $\text{ZrK}$  строилась аналогично модели расчета спектра  $\text{HfL}_1$ . Данные моделирования EXAFS-спектров  $\text{HfL}_1$  и  $\text{ZrK}$ , полученные для образцов с аморфной и поликристаллической пленками, приведены в табл. 2. На рис. 4, 5 приведено сравнение модельных и экспериментальных EXAFS-спектров  $\text{HfL}_1$  для аморфной и поликристаллической пленок оксида  $\text{Hf}_{0.5}\text{Zr}_{0.5}\text{O}_2$ .

Следует отметить, что координационные числа в двух сferах металла (Hf–Hf и Hf–Zr) в аморфной пленке разделились достаточно близко к соотношению 50/50 (с учетом точности их определения). Таким образом, можно предположить, что аморфная пленка  $\text{Hf}_{0.5}\text{Zr}_{0.5}\text{O}_2$  представляет собой «не полностью перемешанный» твердый раствор двух металлических оксидов  $\text{HfO}_2$  и  $\text{ZrO}_2$ .

Факторы Дебая при моделировании спектра  $\text{HfL}_1$  для поликристаллического образца имеют заметно меньшие значения по сравнению с этими же параметрами для аморфного образца. Таким образом, по нашим данным после отжига оксиды металлов имеют более упорядоченную структуру, что согласуется с появлением в этом случае поликристаллической структуры [13]. Анализ полученных значений координационных чисел  $N$  показал, что 1)  $N(\text{Hf–Hf})$  в 3–4 раза больше, чем  $N(\text{Hf–Zr})$ , 2)  $N(\text{Zr–Zr})$  в 2.5–3 раза больше, чем  $N(\text{Zr–Hf})$ . Таким образом, весьма вероятно, что после отжига оксиды гафния и циркония образуют в пленках отдельные островки фаз монооксидов, соприкасающиеся на границах раздела. Результаты эксперимента не позволяют точно установить размеры и детальную fazовую структуру островков, однако можно предположить, что размеры малых островков  $\text{HfO}_2$  и  $\text{ZrO}_2$  составляют порядка нескольких нанометров, а структура аналогична моноклинной структуре  $\text{HfO}_2$  и  $\text{ZrO}_2$ .

#### 4.2. Результаты, полученные из эллипсометрических измерений

Спектральные эллипсометрические измерения на образцах  $\text{Hf}_{0.5}\text{Zr}_{0.5}\text{O}_2/\text{Si}$  показали (рис. 6), что эти тонкие пленки прозрачны в исследуемом спектральном диапазоне и, следовательно, могут быть описаны с помощью полиномиальной зависимости Коши (3) без учета поглощения света ( $k=0$ ). Даные модели Коши для всех измеренных образцов и их толщины приведены в табл. 3.

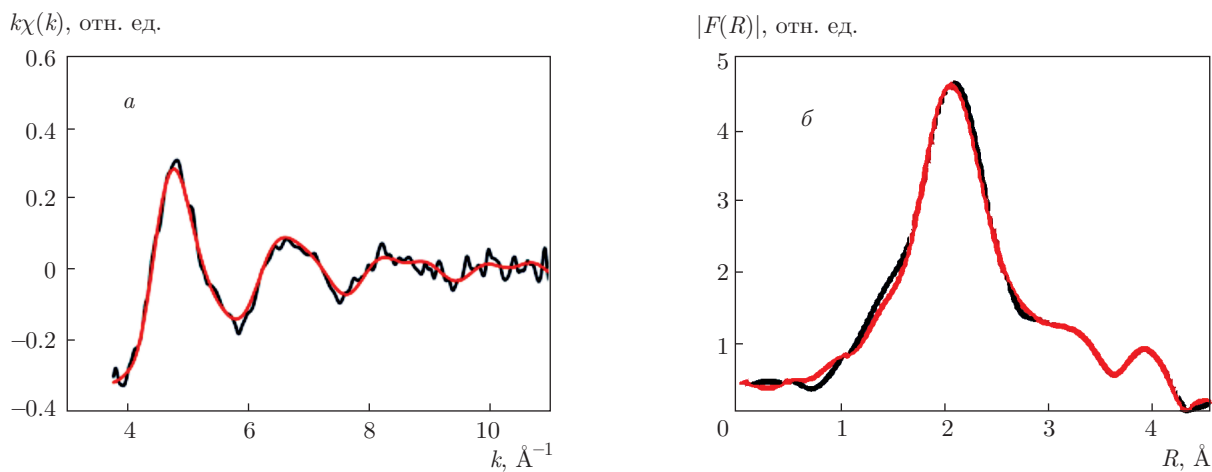
**Таблица 2.** Параметры локальной атомной структуры Hf для аморфной и поликристаллической пленок и Zr для поликристаллической пленки оксида  $\text{Hf}_{0.5}\text{Zr}_{0.5}\text{O}_2$ . Фиксированные параметры выделены жирным шрифтом

Образец, линия	Поглощающий атом – рассевающий атом	$N$	$R, \text{\AA}$	$2\sigma^2, \text{\AA}^2$
Аморфная пленка, $\text{Hf}L_1$	Hf–O	$6.8 \pm 1.3$	$2.12 \pm 0.01$	$0.017 \pm 0.001$
	Hf–Hf	$4.1 \pm 1.0$	$3.22 \pm 0.03$	$0.02 \pm 0.01$
	Hf–Zr	2.9	$3.46 \pm 0.02$	
	Hf–O	<b>5</b>	$3.31 \pm 0.05$	0.017
	Hf–Hf	$2.5 \pm 0.8$	$3.97 \pm 0.04$	0.02
	Hf–Zr	1.5	$4.13 \pm 0.02$	
	Hf–O	<b>11</b>	$4.17 \pm 0.04$	0.017
Fit = 3.4, $S_0^2 = 0.9$				
Поликристаллическая пленка, $\text{Hf}L_1$	Hf–O	$6.4 \pm 1.5$	$2.14 \pm 0.02$	$0.005 \pm 0.001$
	Hf–Hf	$5.4 \pm 1.0$	$3.35 \pm 0.03$	$0.011 \pm 0.005$
	Hf–Zr	1.6	$3.49 \pm 0.02$	
	Hf–O	<b>5</b>	$3.35 \pm 0.05$	0.005
	Hf–Hf	$3.1 \pm 1.0$	$3.96 \pm 0.04$	0.011
	Hf–Zr	0.9	$4.14 \pm 0.02$	
	Hf–O	<b>11</b>	$4.22 \pm 0.04$	0.005
Fit = 6.4, $S_0^2 = 0.9$				
Поликристаллическая пленка, $\text{Zr}K$	Zr–O	$6.5 \pm 0.9$	$2.09 \pm 0.02$	$0.016 \pm 0.001$
	Zr–Hf	2.1	$3.46 \pm 0.03$	$0.019 \pm 0.005$
	Zr–Zr	$4.9 \pm 1.2$	$3.50 \pm 0.02$	
	Zr–O	<b>5</b>	$3.38 \pm 0.05$	0.016
	Zr–Hf	1.0	$3.99 \pm 0.04$	0.019
	Zr–Zr	$3.0 \pm 0.8$	$3.94 \pm 0.02$	
	Zr–O	<b>11</b>	$4.22 \pm 0.04$	0.016
Fit = 4.5, $S_0^2 = 0.7$				

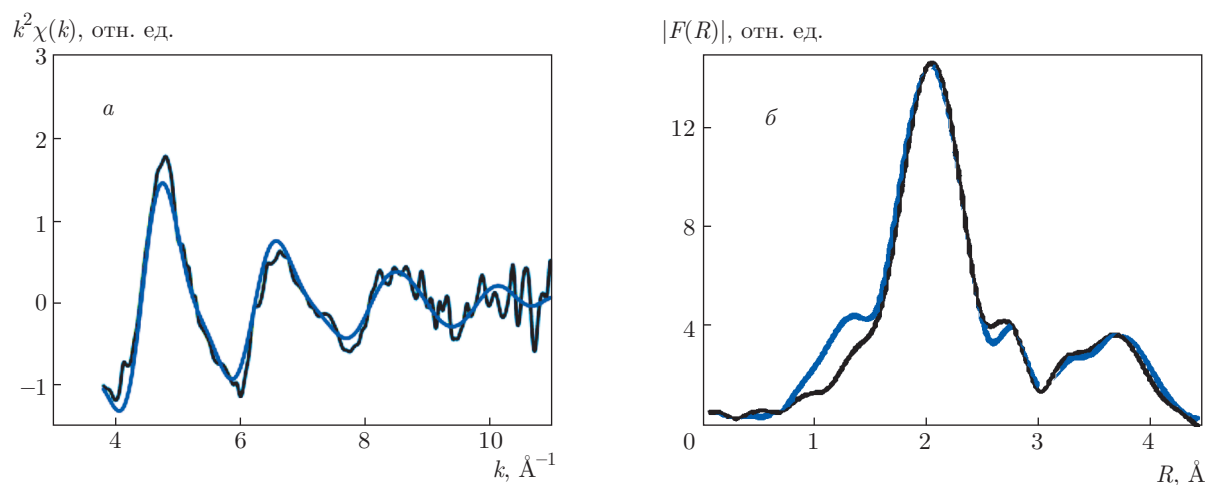
Для описания многокомпонентной пленки  $\text{Hf}_{0.5}\text{Zr}_{0.5}\text{O}_2/\text{Si}$  была использована модель эффективной среды Бруггемана [15–17]. Модель хорошо описывает сложную оптическую среду как смесь отдельных фаз  $\text{ZrO}_2$  и  $\text{HfO}_2$ , каждая из которых имеет свое значение диэлектрической проницаемости  $\epsilon_i$  и свою долю  $q_i$  в смеси. В качестве отдельных компонентов, моделирующих состав пленок  $\text{Hf}_{0.5}\text{Zr}_{0.5}\text{O}_2$ , были взяты аморфные пленки  $\text{HfO}_2$ ,  $\text{ZrO}_2$ , полученные методом ионного распыления – осаждения [21]. Полученные результаты приведены на рис. 6 и 7. На рис. 7 кривые 1 и 3 отображают дисперсию соответственно пленок  $\text{ZrO}_2$  и  $\text{HfO}_2$ , кривая 2 – дисперсию пленки  $\text{Hf}_{0.5}\text{Zr}_{0.5}\text{O}_2$ , рассчитанную по полиномиальной зависимости

Копии. Штриховой кривой показана дисперсия, наиболее близко лежащая к экспериментально измеренной и рассчитанной для пленки  $\text{Hf}_{0.5}\text{Zr}_{0.5}\text{O}_2$  (кривая 2), полученная в результате расчета по модели Бруггемана (4). В табл. 3 приведены значения доли Hf-содержащей компоненты ( $\text{HfO}_2$ ),  $q = 0.46$  и  $q = 0.48$ , соответственно для поликристаллической и аморфной пленок, при которых достигается наиболее полная подгонка расчетных кривых  $\Psi(\lambda)$ ,  $\Delta(\lambda)$  к экспериментальным.

Обращают на себя внимание низкие значения функции (функционала) ошибки  $\sigma^2$ , которые косвенно свидетельствуют о том, что пленки прозрачны, однородны (лишены градиентов по толщине и показателю преломления) и хорошо соответствуют



**Рис. 4.** (В цвете онлайн) Экспериментальный (черная линия) и модельный (красная линия) EXAFS-спектры  $\text{Hf}L_1$  для аморфной пленки  $\text{Hf}_{0.5}\text{Zr}_{0.5}\text{O}_2$  (а) и модули их фурье-преобразования (б)



**Рис. 5.** (В цвете онлайн) Экспериментальный (черная линия) и модельный (синяя линия) EXAFS-спектры  $\text{Hf}L_1$  для поликристаллической пленки  $\text{Hf}_{0.5}\text{Zr}_{0.5}\text{O}_2$  (а) и модули их фурье-преобразования (б)

модели однослойной отражающей системы [16] (минимум функционала  $\sigma^2$  характеризует точность решения обратной задачи эллипсометрии).

## 5. ЗАКЛЮЧЕНИЕ И ВЫВОДЫ

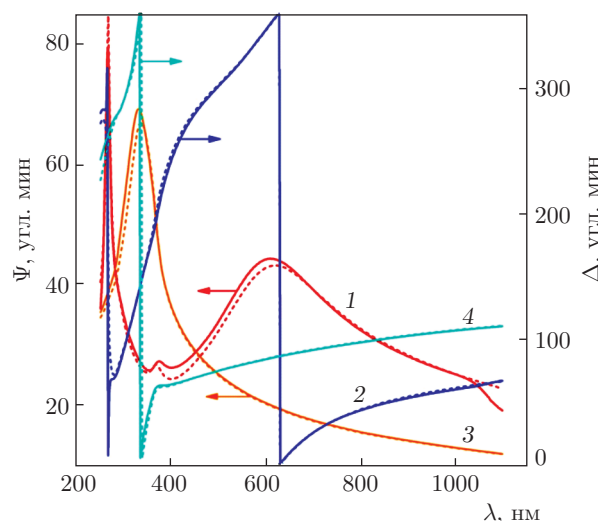
Из анализа рентгеновских спектров поглощения (XAFS-спектров)  $\text{Hf}L_1$  и  $\text{Zr}K$  установлено, что атомы металлов в составе аморфных и поликристаллических пленок  $\text{Hf}_{0.5}\text{Zr}_{0.5}\text{O}_2$  координированы семью атомами кислорода (соответственно  $\text{HfO}_7$  и  $\text{ZrO}_7$ ). Из анализа XAFS-спектров установлено также, что аморфная пленка  $\text{Hf}_{0.5}\text{Zr}_{0.5}\text{O}_2$  представляет собой «не полностью перемешанный» твердый раствор двух металлических оксидов,  $\text{HfO}_2$  и  $\text{ZrO}_2$ . После быстрого термического отжига образцы

смешанных оксидов  $\text{Hf}_{0.5}\text{Zr}_{0.5}\text{O}_2$  имеют более упорядоченную поликристаллическую структуру без заметного присутствия фазы смешанных оксидов и образуют в пленках отдельные островки фаз монооксидов  $\text{Hf}$  и  $\text{Zr}$ , соприкасающиеся на границах раздела. Островки имеют размеры порядка нескольких нанометров со структурой, аналогичной моноклинной структуре  $\text{HfO}_2$  и  $\text{ZrO}_2$ . На основе результатов, полученных методом эллипсометрии для образцов  $\text{Hf}_{0.5}\text{Zr}_{0.5}\text{O}_2$ , обнаружено присутствие фаз  $\text{HfO}_2$  и  $\text{ZrO}_2$ .

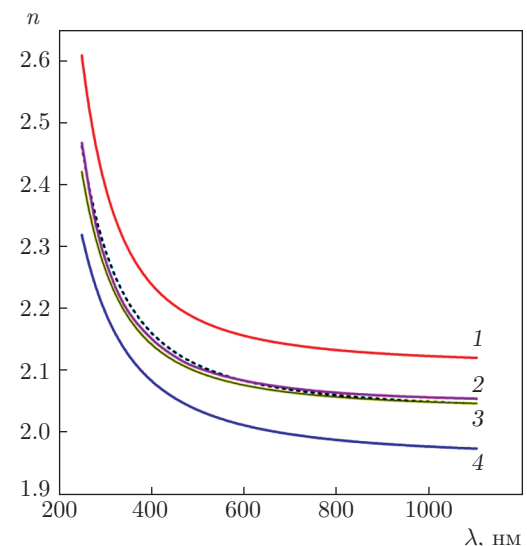
Работа выполнена при финансовой поддержке ФАНО России и Российского научного фонда (грант № 14-16-00192).

**Таблица 3.** Толщина и оптические характеристики пленок, рассчитанные в соответствии с моделями Коши и Бруггемана:  $d$  — толщина пленки;  $n$  — показатель преломления на длине волны 632.8 нм;  $a$ ,  $b$ ,  $c$  — коэффициенты полинома;  $\sigma^2$  — функционал, характеризующий точность решения обратной задачи эллипсометрии;  $q_{\text{Hf}}$  — значение доли Hf-содержащей компоненты ( $\text{HfO}_2$ )

Образец	$d$ , нм	$n$	Расчет по модели Коши			$\sigma^2$	$q_{\text{Hf}}$
			$a$	$b \times 10^{-4}$	$c \times 10^{-9}$		
$\text{HfO}_2$	88.9	2.003	1.955	1.834	0.264	1.21	—
$\text{ZrO}_2$	88.6	2.147	2.105	1.446	1.055	1.37	—
$\text{Hf}_{0.5}\text{Zr}_{0.5}\text{O}_2$ поликристаллическая пленка	37.3	2.075	2.041	1.113	0.405	1.73	0.46
$\text{Hf}_{0.5}\text{Zr}_{0.5}\text{O}_2$ аморфная пленка	37.2	2.069	2.033	1.247	0.326	1.91	0.48



**Рис. 6.** (В цвете онлайн) Зависимости эллипсометрических углов  $\Psi$  (1, 3) и  $\Delta$  (2, 4) от длины волны  $\lambda$  для образцов  $\text{HfO}_2$  (1, 2) и  $\text{Hf}_{0.5}\text{Zr}_{0.5}\text{O}_2/\text{Si}$  (3, 4). Штрихами показаны данные подгонки по модели Коши (см. табл. 3)



**Рис. 7.** (В цвете онлайн) Дисперсионные зависимости  $n(\lambda)$  для образцов  $\text{ZrO}_2$  (1), поликристаллической (2) и аморфной (3) пленок  $\text{Hf}_{0.5}\text{Zr}_{0.5}\text{O}_2$  и  $\text{HfO}_2$  (4). Штрихами показана зависимость  $n(\lambda)$ , рассчитанная на основании кривых 1 и 4 с использованием модели эффективной среды Бруггемана ( $q_{\text{Hf}} = 0.5$ )

## ЛИТЕРАТУРА

1. T. S. Böscke, J. Müller, D. Bräuhaus, U. Schröder, and U. Böttger, *Appl. Phys. Lett.* **99**, 102903 (2011).
2. S. Mueller, J. Mueller, A. Singh, S. Riedel, J. Sundqvist, U. Schroeder, and T. Mikolajick, *Adv. Functional Mater.* **22**, 2412 (2012).
3. J. Müller, T. S. Böscke, U. Schröder, S. Mueller, D. Bräuhaus, U. Böttger, L. Frey, and T. Mikolajick, *Nano Lett.* **12**, 4318 (2012).
4. J. Müller, T. S. Böscke, D. Bräuhaus, U. Schröder, U. Böttger, J. Sundqvist, P. Kücher, T. Mikolajick, and L. Frey, *Appl. Phys. Lett.* **99**, 112901 (2011).
5. M. H. Park, H. J. Kim, Y. J. Kim, W. Lee, H. K. Kim, and C. S. Hwang, *Appl. Phys. Lett.* **102**, 112914 (2013).
6. M. H. Park, H. J. Kim, Y. J. Kim, W. Lee, T. Moon, and C. S. Hwang, *Appl. Phys. Lett.* **102**, 242905 (2013).

7. A. Chernikova, M. Kozodaev, A. Markeev, Yu. Matveev, D. Negrov, and O. Orlov, *Microelectron. Eng.* **147**, 15 (2015).
8. M. H. Park, Y. H. Lee, H. J. Kim, Y. J. Kim, T. Moon, K. D. Kim, J. Müller, A. Kersch, U. Schroeder, T. Mikolajick, and C. S. Hwang, *Adv. Mater.* **27**, 1811 (2015).
9. *Crystallographic Space Group Symmetry Tables*. homepage.univie.ac.at/nikos.pinotsis/spacegroup.html.
10. J. Wang, H. P. Li, and R. Stevens, *J. Mater. Sci.* **27**, 5397 (1992).
11. V. A. Gritsenko, J. B. Xu, I. H. Wilson, R. M. Kwok, Y. H. Ng, and I. H. Wilson, *Phys. Rev. Lett.* **81**, 1054 (1998).
12. В. А. Гриценко, УФН **178**, 727 (2008).
13. Д. Р. Исламов, А. Г. Черникова, М. Г. Козодаев, А. М. Маркеев, Т. В. Перевалов, В. А. Гриценко, О. М. Орлов, Письма в ЖЭТФ **102**, 610 (2015).
14. N. Binsted, EXCURVE 98: CCLRC Daresbury Laboratory Computer Program (1998).
15. E. J. Rubio, V. V. Atuchin, V. N. Kruchinin, L. D. Pokrovsky, I. P. Prosvirin, and C. V. Ramana, *J. Phys. Chem. C* **118**, 13644 (2014).
16. *Handbook of Ellipsometry*, ed. by H. G. Tompkins and E. A. Irene, William Andrew Publ., New York (2005).
17. S. Bosch, J. Ferré-Borrull, N. Leinfellner, and A. Canillas, *Surf. Sci.* **453**, 9 (2000).
18. R. Ruh and P. W. R. Corield, *J. Amer. Ceram. Soc.* **53**, 126 (1970).
19. W. Zheng, K. H. Bowen, J. Li, I. Dabkowska, and M. Gutowski, *J. Phys. Chem. A* **109**, 11521 (2005).
20. *Crystallography Open Database*; www.crystallography.net.
21. V. S. Aliev, A. K. Gerasimova, V. N. Kruchinin, V. A. Gritsenko, I. P. Prosvirin, and I. A. Badmaeva, *Mater. Res. Express* **3**, 085008 (2016).